

Figura 2.- Cambio en la densidad absoluta de las pastas de cemento con el tiempo de hidratación.

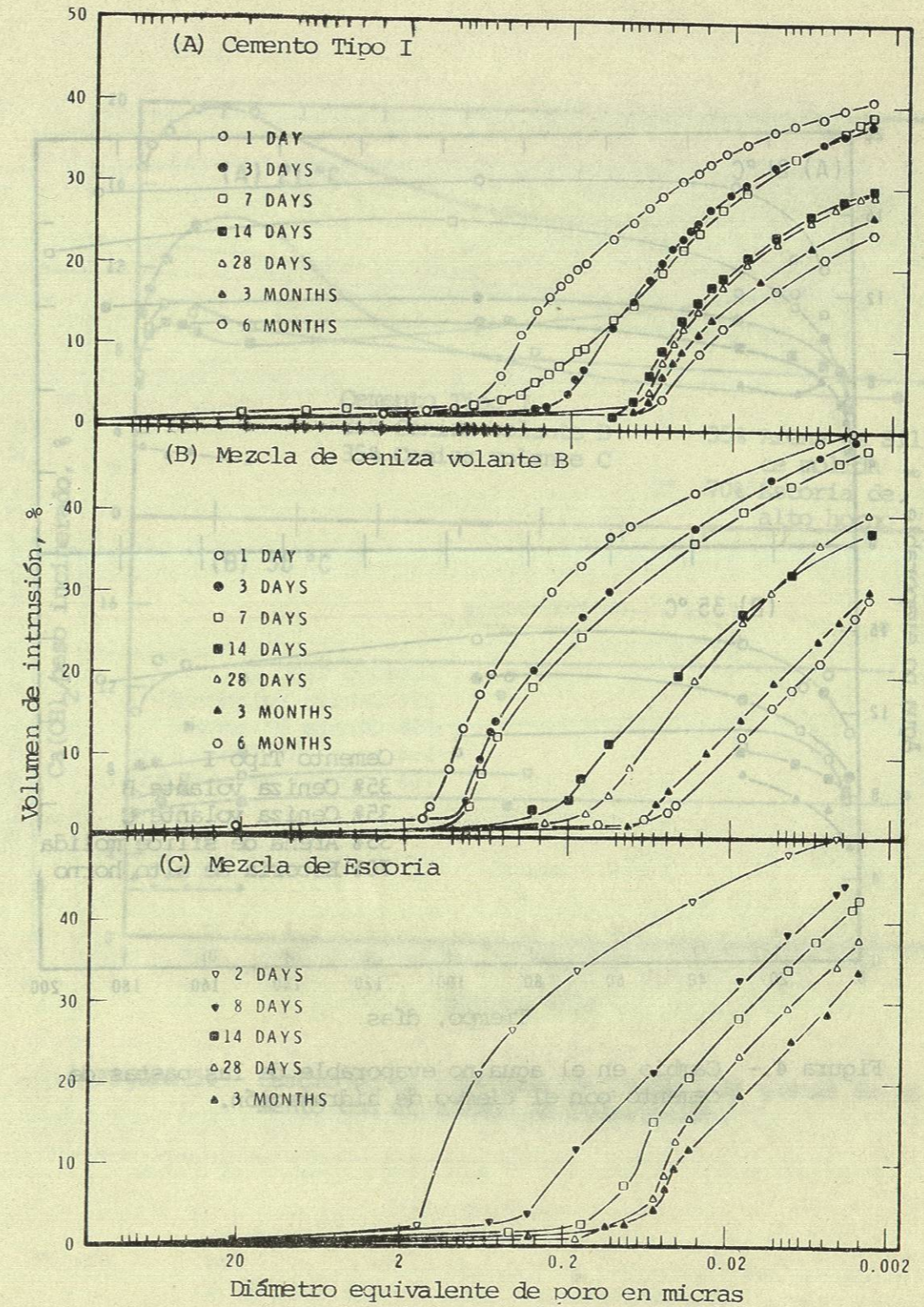


Figura 3.- Cambio de la distribución del tamaño de poros de las pastas de cemento con el tiempo de hidratación a 21°C.

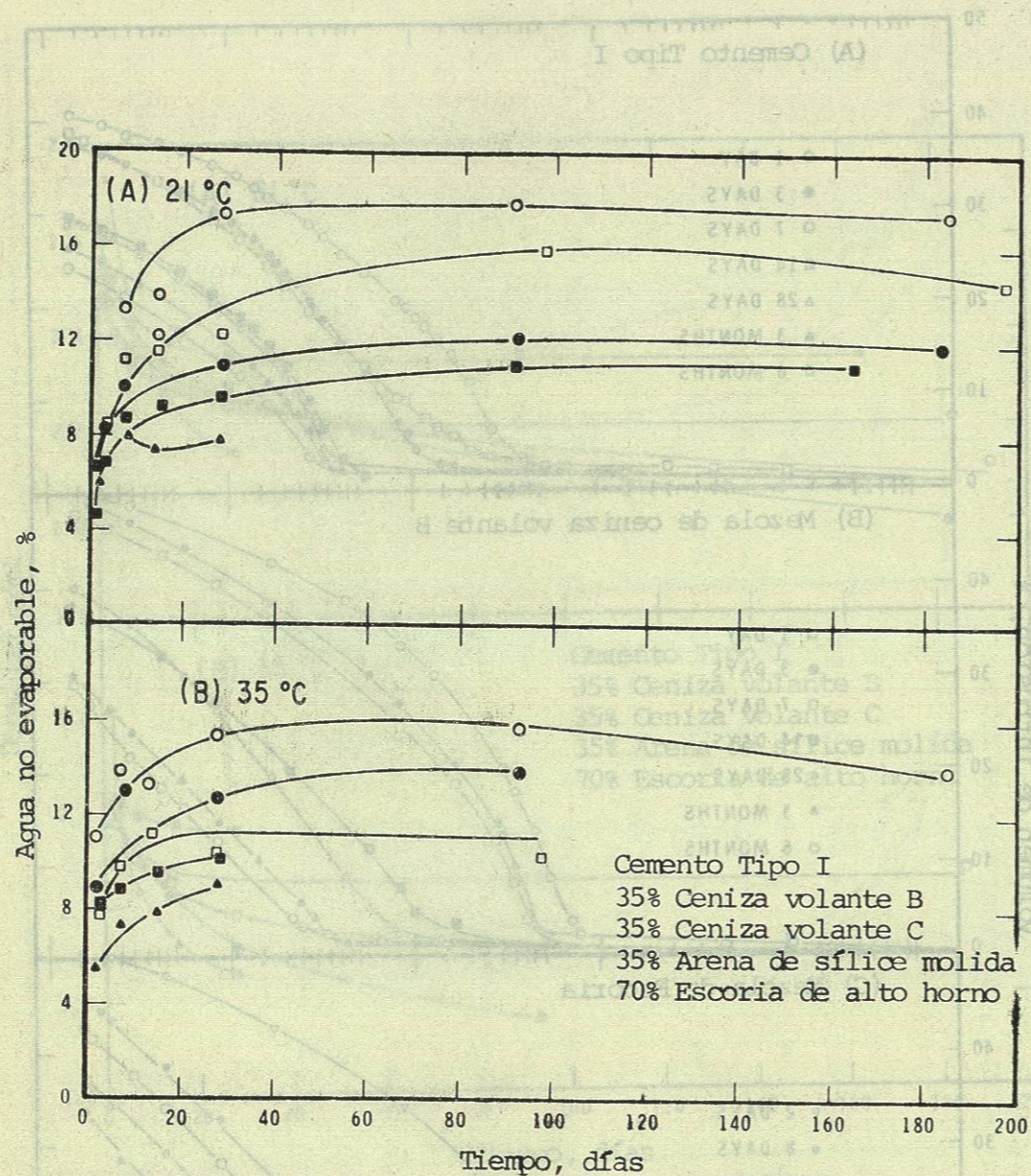


Figura 4.- Cambio en el agua no evaporable de las pastas de cemento con el tiempo de hidratación.

Figura 3.- Cambio de la distribución del tamaño de poros de las pastas de cemento con el tiempo de hidratación a 21 °C.

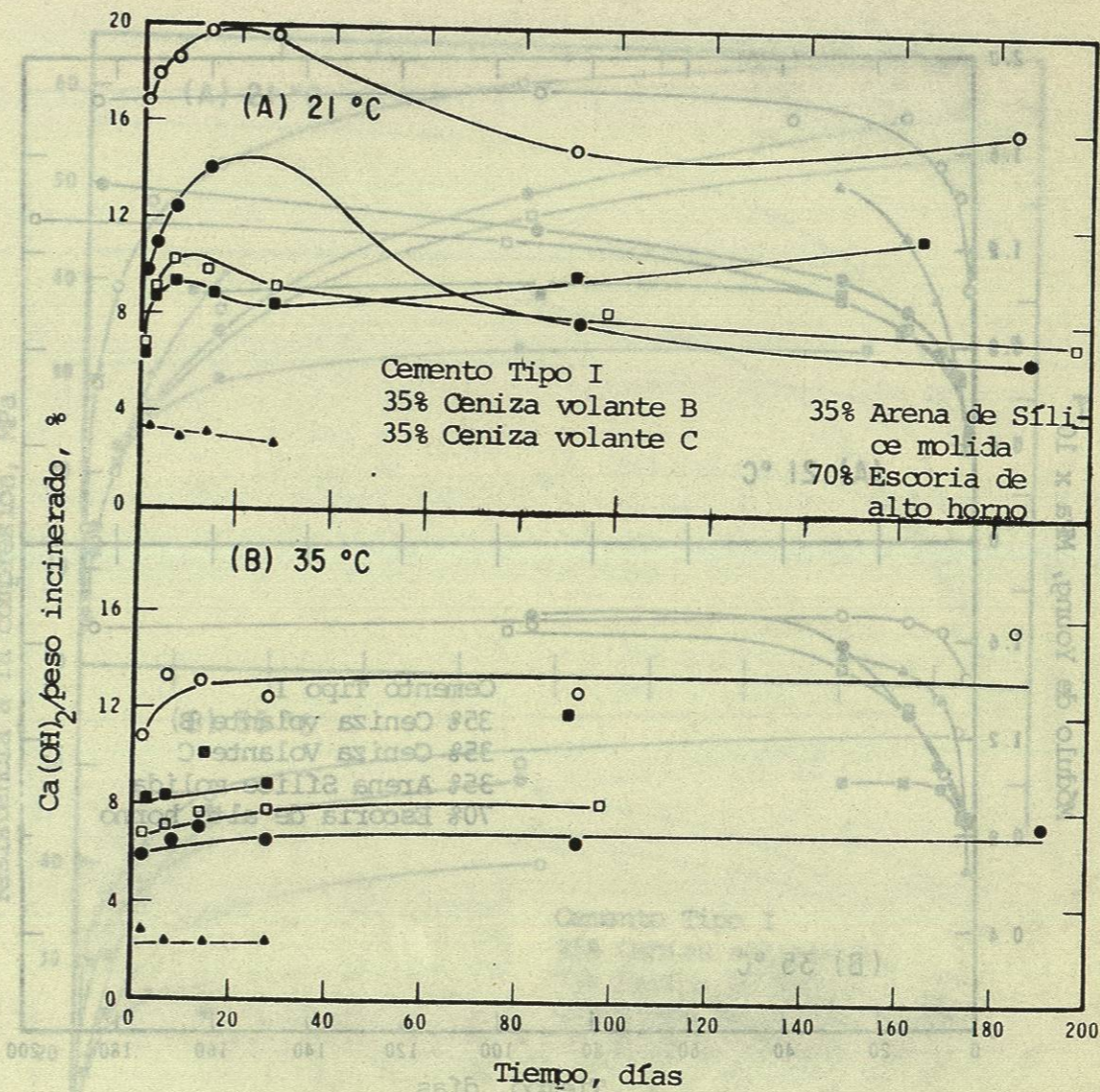


Figura 5.- Cambio en el contenido de Ca(OH)₂ de pastas de cemento con el tiempo de hidratación.

Figura 7.- Cambio en la resistencia a la compresión de las pastas de cemento con el tiempo de hidratación.

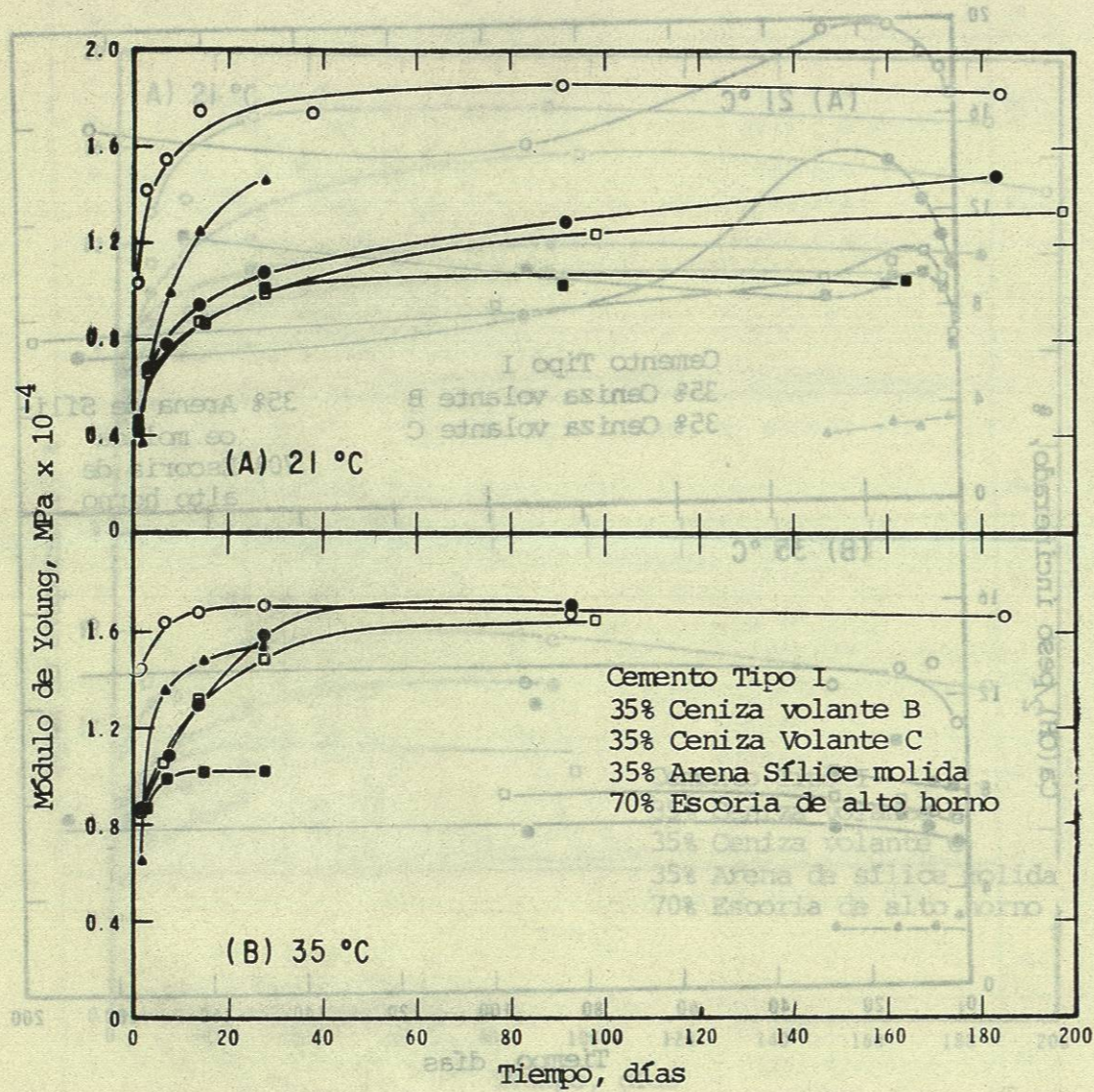


Figura 6.- Cambio en el módulo de Young de las pastas de cemento con el tiempo de hidratación.

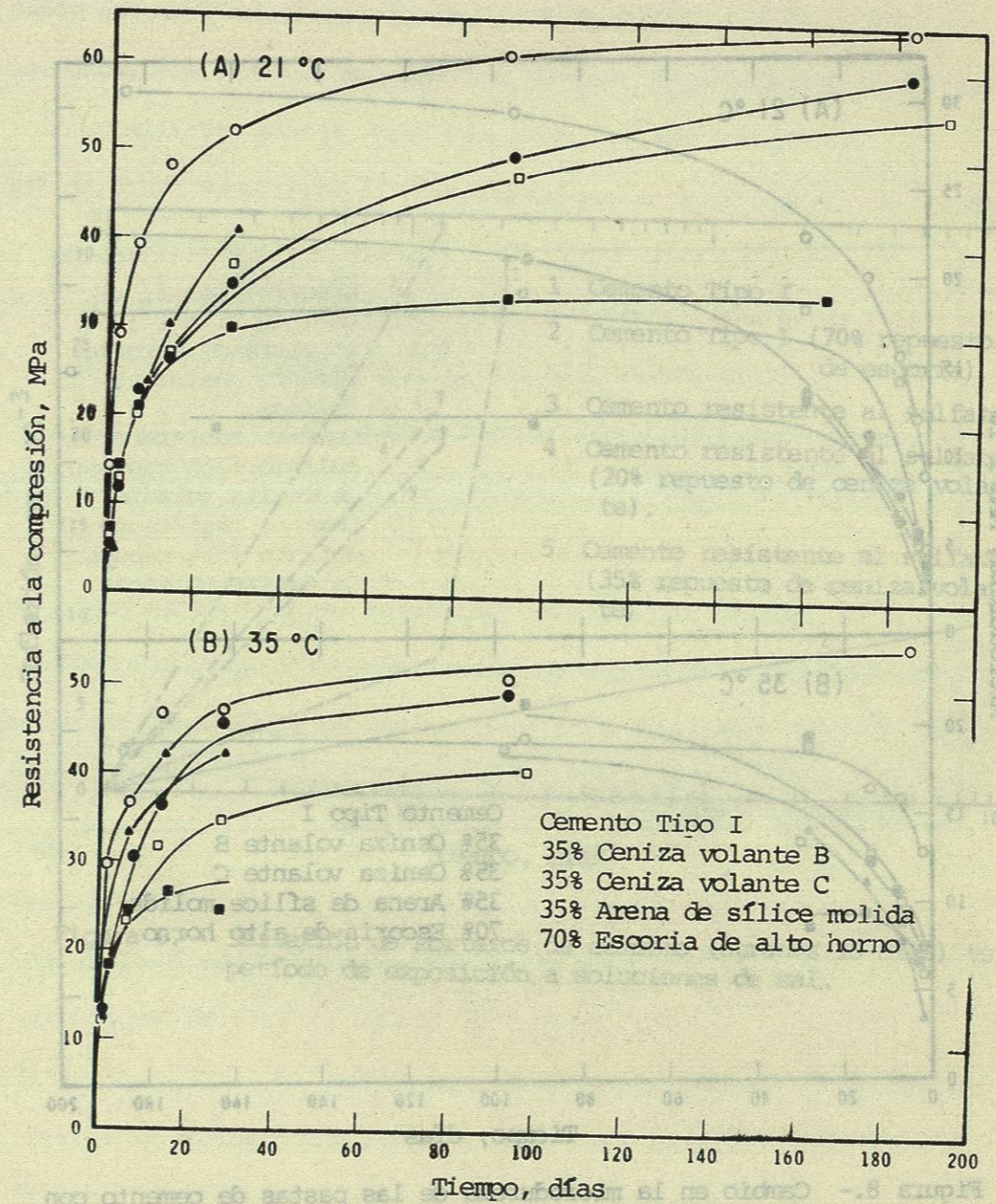


Figura 7.- Cambio en la resistencia a la compresión de las pastas de cemento con el tiempo de hidratación.

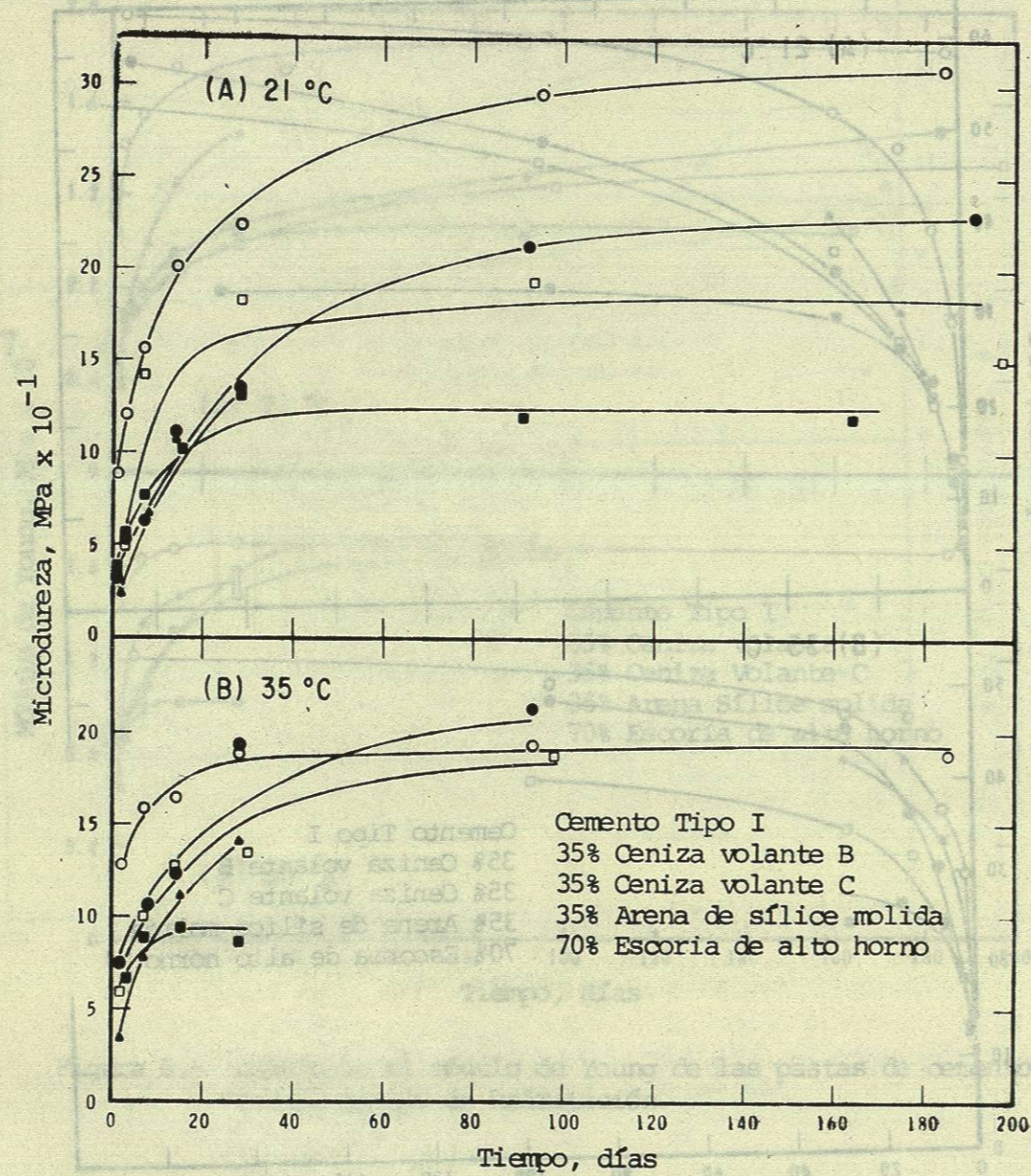


Figura 8.- Cambio en la microdureza de las pastas de cemento con el tiempo de hidratación.

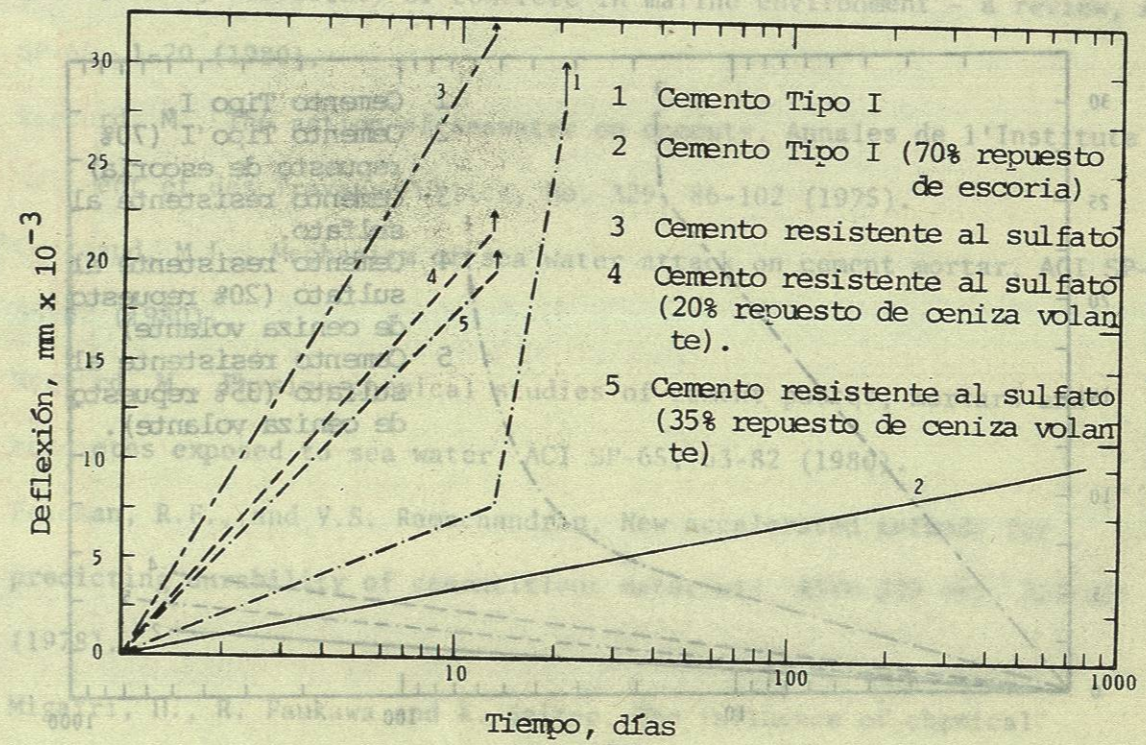


Figura 9.- Deflexión de morteros de cemento (curados 15 días) vs. periodo de exposición a soluciones de sal.